

КОГЕРЕНТНОЕ НЕУПРУГОЕ РАССЕЯНИЕ УЛЬТРАХОЛОДНЫХ  
НЕЙТРОНОВ НА СТЕНКАХ ЛОВУШКИ

Б. И. Горячев, Н. В. Линькова

УДК 539.125.5

Когерентное неупругое рассеяние ультрахолодных нейтронов (УХН) на стенках ловушки рассматривается в связи с аномальной утечкой УХН из ловушки.

В экспериментах по накоплению УХН /1,2/ обнаружена аномально большая вероятность утечки нейтронов при однократном соударении со стенкой ловушки. Так, для графитовой ловушки эта вероятность  $w \sim 10^{-3}$ , вместо величины  $10^{-5}$ , следующей из малости сечения поглощения  $\sigma_a$  и амплитуды некогерентного рассеяния  $b_{inc}$ . Аналогичная ситуация наблюдается в случае стеклянных ловушек. В связи с этим интересно исследовать "нагрев" УХН в результате когерентного неупрятого взаимодействия с тепловыми колебаниями стенки ловушки. Рассмотрим когерентное неупрятное рассеяние УХН на стенках ловушки, полагая  $\sigma_a = 0$ . Будем также считать, что вещество ловушки имеет постоянную плотность и состоит из ядер бесспинового изотопа ( $b_{inc} = 0$ ). Для простоты представим стенку в виде бесконечно протяженной пластинки толщиной  $z_0$  (ось  $z$  перпендикулярна ее плоскости). Энергия УХН  $E$  меньше граничной энергии  $v_0$  вещества стенки. Пусть состояния падающих и рассеянных УХН описываются плоскими волнами с волновыми векторами  $\vec{k}$  и  $\vec{k}'$  соответственно, а состояния рассеивателя — производителями волновых функций гармонического осциллятора  $\eta(\alpha)$ . Вероятность когерентного процесса нагрева УХН в однофotonном приближении  $w_h$  можно выразить через элементы  $S$ -матрицы

$$w_h = \sum_{\alpha} W(\alpha \alpha_0) \sim \sum_{\alpha} \left| \int \langle \exp(i\vec{k}' \cdot \vec{r}) \eta(\alpha) | \hat{S} | \exp(i\vec{k} \cdot \vec{r}) \eta(\alpha_0) \rangle \right|^2 d^3 k' \sim \\ \sim \frac{m}{h^2 k_z} \sum_{\alpha} P(\alpha \vec{k}_\alpha, \alpha_0 \vec{k}), \quad (I)$$

где

$$P(\alpha \vec{k}_\alpha, \alpha_0 \vec{k}) = \int |M(\alpha \vec{k}', \alpha_0 \vec{k})|^2 \delta(k_x - k'_x + a_x) \delta(k_y - k'_y + a_y) \delta(E - E' + \hbar\omega) d^3 k'. \quad (2)$$

Здесь  $m$  - масса нейтрона,  $\hbar\omega$  и  $\vec{q}$  - энергия и волновой вектор поглощенного фонона,  $E = \hbar^2 k^2 / 2m$ ,  $E' = \hbar^2 k'^2 / 2m$ . Состояния с индексом  $\alpha$  содержат на один фонон меньше, чем исходное состояние  $\alpha_0$ . При вычислении матричного элемента  $M(\alpha \vec{k}', \alpha_0 \vec{k})$  необходимо учесть как поглощение фонона, так и упругий процесс - многократное рассеяние нейтронной волны, т.е. рефракцию. В приближении искаженных волн

$$M(\alpha \vec{k}_\alpha, \alpha_0 \vec{k}) \sim \langle \varphi^{(-)}(k_{az}) | \hat{v}(z) \exp(iq_z z) | \varphi^{(+)}(k_z) \rangle.$$

Здесь  $\hat{v}(z)$  отвечает потенциалу  $v_{inel}(\vec{r})$ , обуславливающему неупругое рассеяние.

Для пластины, симметрично расположенной относительно начальной координаты,

$$v_{inel}(\vec{r}) = v_0 \rho^{-1} \sum_1^N \left[ \Theta\left(z_1 + \frac{z_0}{2}\right) - \Theta\left(z_1 - \frac{z_0}{2}\right) \right] [\delta(\vec{r} - \vec{r}_1 - \vec{\xi}_1) - \delta(\vec{r} - \vec{r}_1)], \quad (3)$$

где  $\rho$  - число ядер рассеивателя в  $\text{см}^{-3}$ ,  $\vec{r}_1$  - координата положения равновесия 1-го ядра,  $\vec{\xi}_1$  - смещение этого ядра за счет тепловых колебаний. Суммирование ведется по всем  $N$  ядрам рассеивателя.

При  $k_z > 0$  искаженная рефракцией нейтронная волна описывается функцией  $\varphi^{(+)}(k_z) = C_+ \exp(i\beta z) + C_- \exp(-i\beta z)$  где

$$C_\pm = 0,5 \left\{ 1 \pm \frac{k_z}{\beta} + \left( 1 \mp \frac{k_z}{\beta} \right) \frac{(k_z^2 - \beta^2)[1 - \exp(2i\beta z_0)]}{(k_z + \beta)^2 - (k_z - \beta)^2 \exp(2i\beta z_0)} \right\} \times \\ \times \exp\left(-ik_z \frac{z_0}{2} \pm i\beta \frac{z_0}{2}\right),$$

$$\beta = k_z \left( 1 - \frac{v_0}{E_z} \right)^{1/2} \quad \text{при} \quad E_z = \hbar^2 k_z^2 / 2m > v_0,$$

$$\beta = ik_z \left( \frac{v_0}{E_z} - 1 \right)^{1/2} \quad \text{при} \quad E_z < v_0.$$

При  $k_z < 0$   $\varphi^{(+)}(-k_z) = C_+ \exp(-i\beta z) + C_- \exp(+i\beta z)$ . Функции  $\varphi^{(-)}(ik_z)$  получаются путем комплексного сопряжения функций  $\varphi^{(+)}(\bar{k}_z)$ . Из (2) следует, что

$$W(\alpha\alpha_0) = W^d(\alpha\alpha_0) + W^s(\alpha\alpha_0), \quad (4)$$

где  $W^d(\alpha\alpha_0)$  есть вероятность "прямого" рассеяния на угол  $\theta_\alpha$  ( $0 < \theta_\alpha < \pi/2$ ), а  $W^s(\alpha\alpha_0)$  - "зеркального" на угол  $\pi - \theta_\alpha$ . Закон

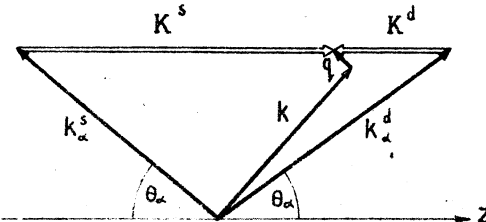


Рис. I. Закон сохранения импульса при неупругом когерентном рассеянии UXН на пластине. Индекс  $d$  соответствует "прямому" рассеянию,  $s$  - "зеркальному"

сохранения импульса в обоих случаях иллюстрируется рис. I. Для простоты выбран случай, когда вектор  $\vec{q}$  расположен в плоскости, содержащей вектор  $\vec{k}$  и нормаль к пластине-рассеивателю. Волновой вектор  $K = k_z + q_z \mp k_\alpha \cos \theta_\alpha$  (знак "минус" соответствует прямому, а "плюс" зеркальному рассеянию) всегда направлен нормально к пластине и отвечает импульсу, который получает вся пластина как целое. Из-за различия законов дисперсии нейтронов и акустических фононов при когерентном неупругом рассеянии UXН существенную роль в импульсном обмене играет рассеиватель. Двухчастичное взаимодействие типа "нейtron-фонон" /3/, по существу, запрещено для UXН, так как оно возможно лишь при нереально больших импульсах акустических фононов /4/. Как следует из (4),  $w_h = w_h^d + w_h^s$ . Полная вероятность утечки UXН из ловушки  $w = \sum_{i=1}^3 w_i$ , где  $w_1 \equiv w_h^d$  и  $w_2 \equiv w_h^s$  для переходов, в которых  $E'_z > v_o$ . Вероятность  $w_3$  отвечает переходам, когда нейtron испытывает рассеяние в заднюю полусферу, причем  $E'_z < v_o$ , но  $E' > v_o$ . При переходах,

соответствующих  $w_2$  и  $w_3$ , нейтроны рассеиваются внутрь ловушки. Поскольку энергия этих нейtronов  $E' > v_o$  и не удовлетворяет условию удержания УХН в ловушке, то они покидают ловушку, испытав после поглощения фонона, вообще говоря,  $\nu$  упругих соударений со стенками. Однако  $\delta \ll w^{-1}$  и  $w$  может аппроксимироваться вероятностью утечки УХН при однократном соударении со стенкой ловушки.

Расчет дает следующее выражение для  $w$ :

$$w = \sum_{i=1}^3 w_i = \sum_{i=1}^3 \frac{m}{M} \frac{v_o}{\hbar N} \int_{\omega_{min}^{(i)}}^{\omega_{max}^{(i)}} \frac{g(\omega) R_i(\omega, E_z) d\omega}{\omega(1+\hbar\omega/E_z)^{1/2} [\exp(\hbar\omega/T)-1]} \quad (5)$$

Здесь  $M$  – масса ядра рассеивателя,  $T$  – температура рассеивателя,  $g(\omega)$  – частотный спектр акустических фононов,  $\omega_{min}^{(1)} = \omega_{min}^{(2)} = (v_o - E_z)/\hbar$ ,  $\omega_{min}^{(3)} = (v_o - E)/\hbar$ ,  $\omega_{max}^{(1)} = \omega_{max}^{(2)} \approx T/\hbar$ ,  $\omega_{max}^{(3)} = (v_o - E_z)/\hbar$ . Функции  $R_i(\omega, E_z)$  учитывают рефракцию вылетающего нейтрона. Так,  $R_3(\omega, E_z) = 4 \frac{E_z}{v_o} (1 + \hbar\omega/E_z)$ . Не приводя громоздких выражений для  $R_1(E_z')$  и  $R_2(E_z')$ , отметим, что при  $E_z' \gg v_o$  функции  $R_1(E_z')$  и  $R_2(E_z')$  стремятся к единице, т.е. роль рефракции несущественна, и  $w_h^d \approx w_h^s$ . При  $E_z' = v_o$  функция  $R_2(E_z')$  стремится к максимальному значению, равному 4, а  $R_1(E_z')$  убывает до величины  $\sim (2\pi\hbar^{-2}v_o z_o^2)^{-1}$ , что позволяет пренебречь вероятностью  $w_h^d$  при  $E_z' \leq v_o$ . Величина  $w$  существенно зависит от вида функции  $g(\omega)$ . В случае дебаевского спектра  $g(\omega) = 3N\omega^2/\omega_D^3$  ( $\omega_D$  – дебаевская граничная частота), и основной вклад в  $w$  дают переходы, связанные с поглощением энергичных фононов ( $\hbar\omega \gg v_o$ ). При этом величина  $w$  составляет  $10^{-7} + 10^{-8}$ . Таким образом, используя дебаевский спектр, нельзя объяснить наблюдаемую аномальную утечку УХН и следует обратиться к более реалистическим спектрам /3/. Для ряда стеклообразных и некоторых кристаллических веществ обнаружены низкотемпературные аномалии теплоемкости, которые можно связать /5,6/ с существованием спектра  $g_s(\omega) = 3N\omega^2/\omega_D^3 + \gamma N/\omega_D$ . Для стекол  $\gamma \leq 5 \cdot 10^{-4}$ . Можно ожидать, что спектр  $g_s(\omega)$  характерен для всех мозаичных (в том числе поликристаллических)

тел. При этом  $\gamma = z/n^2$ , где  $z$  - доля вещества, входящего в состав кристаллитов, а  $n$  - средний линейный размер кристаллита, выраженный числом межатомных промежутков. Для  $g_y(\omega)$  вероятность утечки может быть аппроксимирована выражением

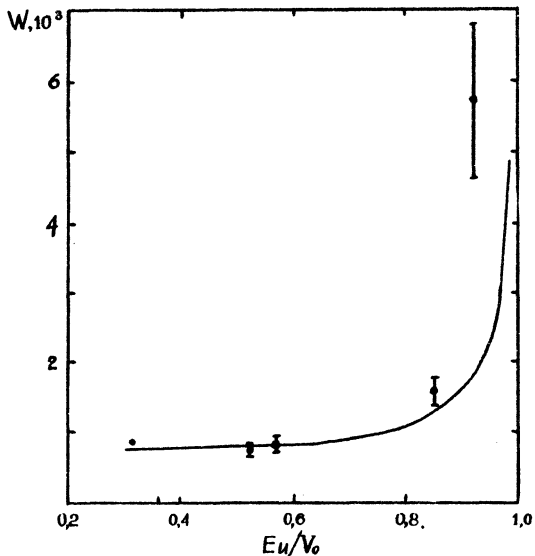


Рис. 2. Сравнение теоретической зависимости  $W(E_u)$  для графита с данными эксперимента /2/

$$W(E) \approx 4\gamma \frac{\pi T}{E} \frac{[(v_o - E + E_{min})E_{min}]}{v_o - E}^{1/2},$$

справедливым при  $E < v_o - E_{min}$ , где  $E_{min}$  имеет смысл минимальной эффективной энергии фононов в спектре  $g_y(\omega)$ . При  $v_o > E > v_o - E_{min}$  выполняется  $W(E) = W(v_o - E_{min})$ . Для сравнения с экспериментом значения  $W(E)$ , рассчитанные согласно (5), усреднялись по углам падения и энергетическому спектру УХН в ловушке. Усредненные значения  $W$  зависят от двух параметров:  $\gamma$  и  $E_{min}$ . Для стеклянной ловушки ( $\gamma = 5 \cdot 10^{-4}$ ) экспериментальное значение  $W \approx 4 \cdot 10^{-4} / I$  может быть получено при  $E_{min} = 2 \cdot 10^{-2} v_o$ . Длина

волны фонона  $\lambda_{\max}$ , соответствующая этому значению  $E_{\min}$ , составляет  $\sim 5$  мкм, т.е. примерно равна толщине стенок ловушки. Для графита величина  $\gamma$  неизвестна, но существующим экспериментальным данным не противоречит значение  $\gamma \leq 5 \cdot 10^{-5}$ . На рис.2 теоретическая зависимость  $W(E_u)$  сравнивается с экспериментальными данными. /2/.  $E_u$  - нижняя граница интервалов  $E_z$ , в которых проводились измерения. При расчете использовались величины  $\gamma = 5 \cdot 10^{-5}$  и  $E_{\min} = 0,001v_0$  ( $\lambda_{\max}$  при этом на порядок превышает  $\lambda_{\max}$  для стекла). Как видно из рисунка, расчет передает основную особенность хода экспериментальных точек - резкое нарастание  $W$  при  $E_u = v_0$  и слабое изменение  $W$  при  $E_u \ll v_0$ .

Эксперименты по удержанию УХН в ловушках, по-видимому, могут дать информацию о частотном спектре акустических фононов в области предельно низких частот.

Авторы благодарны профессору Л. В. Келдышу за полезное обсуждение и критические замечания.

Поступила в редакцию 28 ноября 1975 г.

После переработки 10 марта 1976 г.

### Л и т е р а т у р а

1. Ф. Л. Шапиро. Препринт ОИИИ, РЗ-8135, Дубна, 1974 г.
2. A. Steyerl, W. D. Trustedt. Z. Physik, 267, 379 (1974).
3. В. К. Игнатович. Препринт ОИИИ, Р4-6681, Дубна, 1974 г.; Р4-8687, Дубна, 1975 г.
4. А. Ахиезер, И. Померанчук. Некоторые вопросы теории ядра. Гостехиздат, 1950 г.
5. M. P. Baltes. Solid State Commun., 13, 225 (1974).
6. Usha, L. S. Kothari. Solid State Commun., 15, 579 (1974).